

госодержание d_y становится выше, чем d_n . Для нахождения влагосодержания d_y (г/кг) удаляемого воздуха при расходе L_y можно использовать формулу

$$d_y = d_n + K_d(d_b - d_n), \quad (6)$$

где d_b , d_n – влагосодержание соответственно внутреннего и приточного воздуха, г/кг.

Показатель K_d называется коэффициентом эффективности организации воздухообмена. Для рекомендуемой схемы притока воздуха в зону нахождения людей и вытяжки под потолком этот показатель может быть принят равным $K_d = 1,6$. Вычислим по формуле (6) возможное влагосодержание удаляемого воздуха для рассматриваемого примера:

$$d_y = 10 + 1,6(14,4 - 10) = 17 \text{ г/кг.}$$

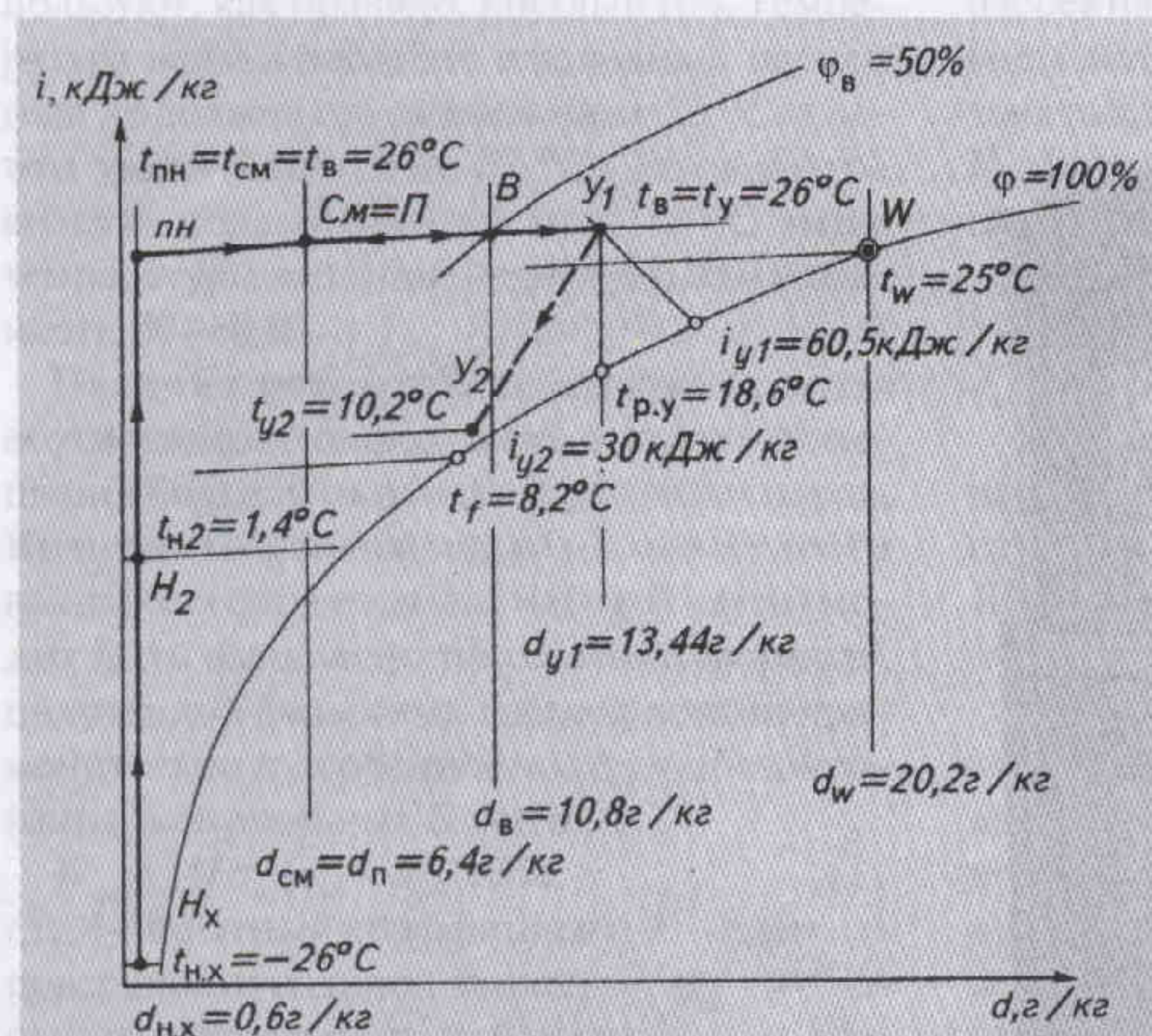


Рис. 2. Построение на i, d -диаграмме режима работы приточно-вытяжной системы в расчетных условиях холодного периода года в климате Москвы

Обозначение режимов:

$H_x - H_2$ – нагрев приточного наружного воздуха в установке утилизации; $Y_1 - Y_2$ – извлечение теплоты из выбросного вытяжного воздуха в установке утилизации; $H_2 - PN$ – нагрев приточного наружного воздуха в калорифере; $PN - CM - Y$ – процесс смешения подогретого приточного наружного воздуха с частью вытяжного воздуха; $CM - B - Y_1$ – поглощение влаговыделений приточным воздухом по высоте помещения плавательного бассейна

На i, d -диаграмме (см. рис. 1) находим точку Y_1 с параметрами: $d_y = 17 \text{ г/кг}$, $t_b = t_y = 28^\circ\text{C}$.

Согласно расчету для поглощения влаговыделений в помещениях плавательных бассейнов в зону нахождения людей необходимо подавать следующее количество приточного наружного воздуха ($\text{м}^3/\text{ч}$):

$$L_{\text{п.н}} = (W_{\text{ис}} \cdot 1000) / (\rho_{\text{п.н}}(d_y - d_n)). \quad (7)$$

Для рассматриваемого примера по формуле (7) получим

$$L_{\text{п.н}} = (69,4 \cdot 1000) / (1,15 \cdot (17 - 10)) = 8621 \text{ м}^3/\text{ч}.$$

В СНиП [3] указано, что в расчетные сутки теплого периода года температура наружного воздуха в климате Москвы снижается на $10,4^\circ\text{C}$ (точка \bar{H}). Следовательно, для сохранения комфортных условий воздушной среды приточный наружный воздух

в утренние и вечерние часы летом необходимо подогревать. Для первоначального нагрева приточного наружного воздуха энергетически рационально использовать установку утилизации с насосной циркуляцией промежуточного теплоносителя-антифриза [2]. Во избежание конденсации водяных паров температура внутренней поверхности ограждений должна быть выше температуры точки росы удаляемого воздуха $t_{\text{p.y}}$ т.е. выше 22°C (для построения, выполненного на рис. 1).

На рис. 2 представлено построение на i, d -диаграмме расчетного режима работы системы микроклимата в холодный период года при параметрах Б [3]: $t_{\text{п.н}} = -26^\circ\text{C}$, $d_{\text{п.н}} = 0,6 \text{ г/кг}$; температура воды $t_w = 25^\circ\text{C}$, $d_w = 20,2 \text{ г/кг}$; температура воздуха $t_b = 26^\circ\text{C}$, $d_b = 10,8 \text{ г/кг}$, относительная влажность $\phi_b = 50\%$. Градиент влагосодержаний внутреннего и приточного воздуха в расчетных условиях холода периода года значительно больше, чем в расчетных условиях для теплого периода года (см. рис. 1). Как следует из формулы (1), увеличение градиента влагосодержаний приведет к возрастанию количества воды, испаряющейся с водного зеркала ванны плавательного бассейна, что соответственно увеличит расход теплоты на подогрев пополняющей бассейн свежей воды.

В целях сохранения в холодный период года условий испарения воды близкими к режимам в летний период предлагается в холодный период года градиенты влагосодержаний оставить неизменными и равными их значениям при работе в летних режимах. Для выполнения этих условий следует в холодный период года достигать требуемо-

го влагосодержания приточного воздуха путем смешения в приточном агрегате подогретого до температуры $t_{\text{п.н}} = 26^\circ\text{C}$ наружного воздуха и рециркуляционного влажного воздуха из помещения.

Градиенты влагосодержаний в рабочей зоне в теплый и холодный периоды года принимают одинаковыми и равными градиенту в теплый период года:

$$\Delta d_{\text{п.з}} = d_b - d_n = 14,4 - 10 = 4,4 \text{ г/кг.}$$

Таким образом, влагосодержание смеси приточного воздуха в холодный период года

$$d_{\text{см}} = d_b - \Delta d_{\text{п.з}} = 10,8 - 4,4 = 6,4 \text{ г/кг.}$$

Влагосодержание удаляемого воздуха вычисляем по формуле (6):

$$d_y = 6,4 + 1,5(10,8 - 6,4) = 13,44 \text{ г/кг.}$$

Из уравнения баланса смеси определяем расход приточного наружного воздуха в холодный период года:

$$L_{\text{п.н.х}} = L_{\text{п.н}}(\rho_y d_y - \rho_{\text{см}} d_{\text{см}}) / (\rho_y d_y - \rho_{\text{п.н}} d_{\text{п.н}}) = \\ = 8621(1,15 \cdot 13,44 - 1,16 \cdot 6,4) / (1,15 \cdot$$

$$\cdot 13,44 - 1,17 \cdot 0,6) = 4811 \text{ м}^3/\text{ч},$$

где ρ_y , $\rho_{\text{п.н}}$, $\rho_{\text{см}}$ – плотность соответственно удаляемого, приточного наружного воздуха и смеси, $\text{кг}/\text{м}^3$.

Полученное значение $L_{\text{п.н.х}}$ необходимо проверить на соответствие санитарно-гигиеническим нормам по подаче в помещение приточного наружного воздуха. В плавательном бассейне для условий рассматриваемого примера одновременно находятся 40 человек, т. е. на одного человека приходится объемный расход воздуха $80 \text{ м}^3/\text{ч}$, что отвечает минимальному расходу:

$$L_{\text{п.н.мин}} = 40 \cdot 80 = 3200 \text{ м}^3/\text{ч}.$$

Таким образом, значение $L_{\text{п.н.х}}$ больше $L_{\text{п.н.мин}}$, что указывает на соответствие санитарным нормам.

Для снижения количества теплоты, расходуемой на подогрев приточного наружного воздуха, предлагается применить установку утилизации теплоты выбрасываемого в атмосферу удаляемого воздуха L_y .

Нагрев приточного наружного воздуха в установке утилизации отвечает следующему уравнению теплового баланса:

$$Q_{\text{т.у}} = L_{\text{п.н.х}} \rho_{\text{п.н}} c_p (t_{\text{п.н}} - t_{\text{п.н.х}}) = L_y \rho_y (i_{\text{п.н}} - i_{\text{п.н.х}}). \quad (8)$$

Методом подбора находим рациональное значение энталпии $i_{\text{п.н.х}}$ удаляемого воздуха, направляемого в теплообменные установки утилизации. Для рассматриваемого примера $i_{\text{п.н.х}} = 30 \text{ кДж}/\text{кг}$. По правой части уравнения (8) вычисляем количество утилизируемой теплоты:

$$Q_{\text{т.у}} = 4800 \cdot 1,18(60,5 - 30) = 172752 \text{ кДж}/\text{ч}.$$

Из преобразованной левой части уравнения (8) находим достигаемую температуру подогрева приточного наружного воздуха:

$$t_{\text{п.н}} = Q_{\text{т.у}} / (L_{\text{п.н.х}} \rho_{\text{п.н}} c_p) + t_{\text{п.н.х}} = 172752 / (4811 \cdot 1,31 \cdot 1) - 26 = 1,4^\circ\text{C}.$$

На рис. 2 режим извлечения теплоты из вытяжного воздуха показан пунктирными линиями. От температуры $t_{\text{п.н}} = 1,4^\circ\text{C}$ до $t_{\text{п.н}} = 26^\circ\text{C}$ приточный наружный воздух нагревается в калорифере, питаемом горячей водой. При повышении ϕ_b до 60 % система переходит на работу по прямоточной схеме.

На рис. 2 показано, что температура точки росы удаляемого воздуха в холодный пе-

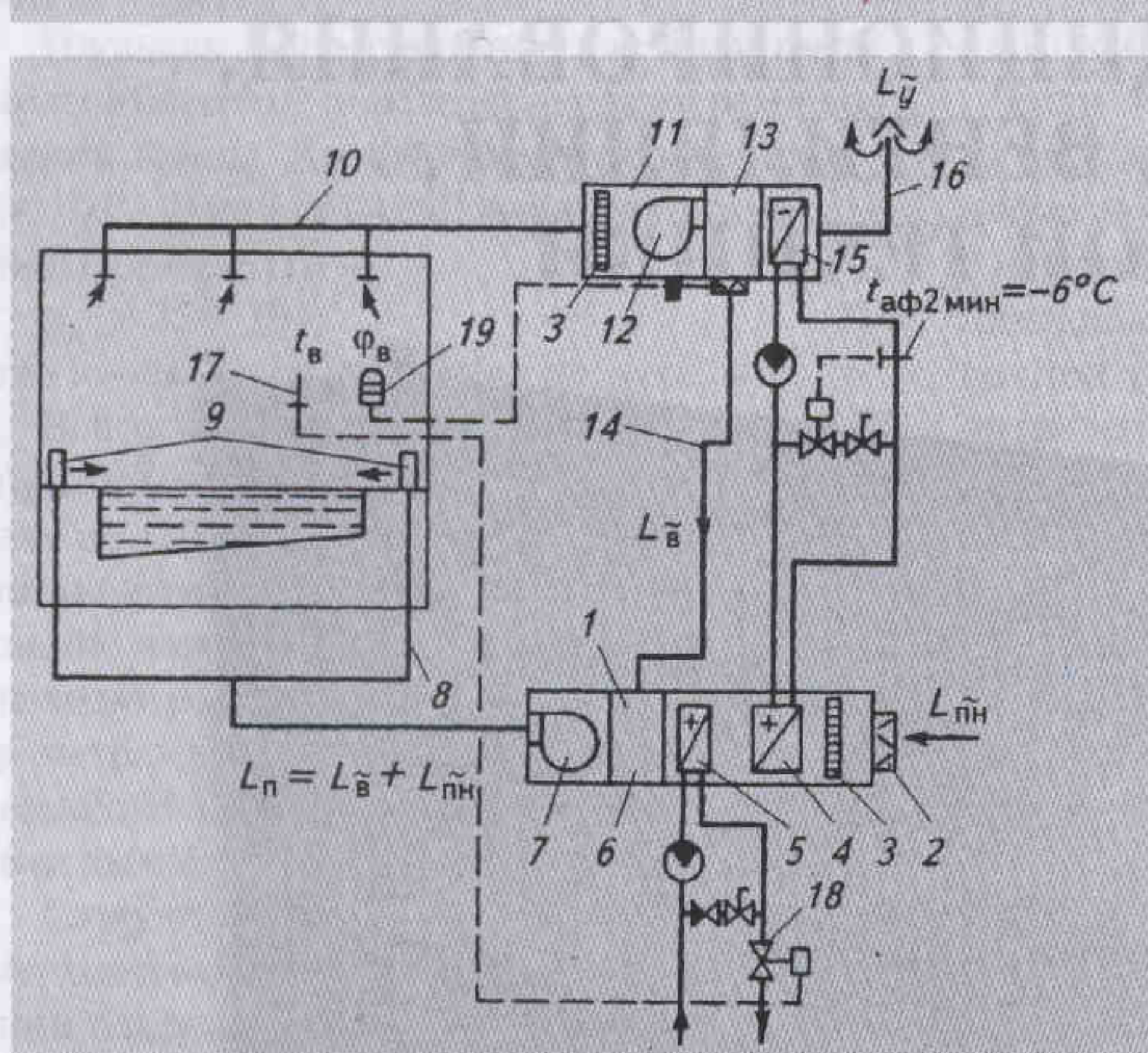


Рис. 3. Принципиальная схема системы микроклиматата в помещении бассейна для плавания

Поздравляем с юбилеем!

ОЛЕГУ ЯНОВИЧУ КОКОРИНУ 75 ЛЕТ

25 ноября 2000 г. исполнилось 75 лет доктору технических наук, профессору Олегу Яновичу КОКОРИНУ, профессору кафедры «Отопление, вентиляция, кондиционирование воздуха» Московского государственного строительного университета (МГСУ), научному консультанту ряда отечественных фирм.

Жизненный путь Олег Янович начал с участия в Великой Отечественной войне с 1943 по 1945 г.

После демобилизации в 1946 г. поступил и в 1951 г. закончил механический факультет Краснодарского политехнического института, где началась его специализация в области кондиционирования воздуха. С 1951 по 1953 г. работал в институте Латпроект. С 1953 по 1955 г. была учеба в аспирантуре на кафедре «Отопление, вентиляция, кондиционирование» МИСИ (ныне МГСУ), которая завершилась защитой кандидатской диссертации в области исследования форсуночных камер установок кондиционирования.

С 1954 по 1958 г., будучи старшим научным сотрудником отдела кондиционирования НИИ сантехники, Олег Янович участвовал в исследовании, разработке и организации производства первых отечественных кондиционеров, которые поставлялись на строительство первой очереди Бхилайского металлургического завода в Индии. Здесь в 1959–1960 гг. принимал участие в монтаже и пуске этих кондиционеров.

После возвращения из Индии возглавил лабораторию местных кондиционеров НИИ сантехники, где подготовил и в 1966 г. защитил докторскую диссертацию и опубликовал монографию «Испарительное охлаждение для целей кондиционирования воздуха».



В 60–80-х годах продолжал работать руководителем лаборатории кондиционирования и одновременно был профессором на кафедре «Отопление, вентиляция, кондиционирование» МИСИ. В 1970 и 1978 гг. вышли два издания его монографии «Установки кондиционирования воздуха». Олег Янович был разработчиком учебной программы по специальности «Кондиционирование воздуха и холодоснабжение», по которой в 1985 г. с его участием опубликован первый учебник.

С 1960 по 1996 г. с его участием созданы системы кондиционирования на многих объектах в Москве и других городах. Впервые в 1983 г. создана и успешно работает энергосберегающая система кондиционирования воздуха в административном здании, ныне занимаемом

Советом Федерации.

По проблеме экономии энергии в 1999 г. им опубликована монография «Энергосберегающая технология систем вентиляции, отопления, кондиционирования воздуха (систем ВОК)», в которой обобщен многолетний опыт научно-исследовательской и проектно-конструкторской работы в области кондиционирования воздуха.

Под руководством О.Я.Кокорина 22 человека защитили кандидатские диссертации и двое – докторские. Он автор 60 изобретений и 360 печатных работ. Более 40 лет О.Я.Кокорин активно сотрудничает в нашем журнале, где опубликовано более 40 его работ.

Желаем юбиляру крепкого здоровья, успехов и продолжения активного сотрудничества с нашим журналом.

риод года равна $t_{p,y} = 18,6^{\circ}\text{C}$. Во избежание конденсации влаги на внутренней поверхности ограждающих конструкций с помощью нагревательных приборов необходимо обеспечить поддержание температуры их поверхностей зимой на уровне не менее 19°C . В расчетных режимах теплого периода года температура точки росы удалаемого воздуха равна 22°C (см. рис. 1). Чтобы предотвратить конденсацию влаги, температура внутренних поверхностей ограждений не должна опускаться летом ниже 23°C .

Проведенный анализ круглогодовых режимов работы систем микроклимата в помещениях плавательных бассейнов позволил разработать принципиальную схему системы микроклимата, представленную на рис. 3. Приточный агрегат 1 собирается из блоков, включающих по ходу воздуха следующие элементы: многостворчатый воздушный клапан 2 для поступления приточного наружного воздуха при переменном расходе $L_{\text{пп}}$; воздушный фильтр 3; теплоотдающий теплообменник 4 установки утилизации; калорифер второго подогрева 5; смесительную камеру 6; приточный вентилятор 7.

Воздуховодами 8 приточный агрегат 1 соединяется с ламинарными воздухораспределителями 9, из которых приточный воздух L_p поступает в зону нахождения людей со скоростью не более $0,2 \text{ м/с}$. Влажный воздух под потолком через вытяжной воздуховод 10 заби-

рается в вытяжной агрегат 11, который включает: воздушный фильтр 3; вытяжной вентилятор 12; воздушную камеру 13 с воздушным клапаном, соединенную воздуховодом 14 со смесительной камерой 6 приточного агрегата 1; теплоизвлекающий теплообменник 15 установки утилизации; выбросной воздуховод 16 удалаемого в атмосферу воздуха L_y .

В помещении плавательного бассейна терmostat 17 контролирует температуру воздуха t_b в зоне нахождения людей и через импульсную связь воздействует на автоматический клапан 18 изменения расхода горячей воды через калорифер 5. Датчик 19 контролирует влажность воздуха φ_b в зоне нахождения людей и через импульсную связь воздействует на моторный привод воздушных клапанов у воздушной камеры 13. При снижении относительной влажности воздуха до нижнего уровня 50 % воздушные клапаны камеры 13 открыты для пропуска по соединительному воздуховоду 14 на рециркуляцию до 50 % удалаемого воздуха, который смешивается с подогретым приточным наружным воздухом в камере 6 приточного агрегата 1. При достижении верхнего уровня относительной влажности воздуха 60 % в зоне нахождения людей датчик 19 подает команду на закрытие воздушных клапанов у воздушной камеры 13, после чего приточный агрегат 1 работает по прямоточной схеме. На схеме (рис. 3) не показаны нагревательные

приборы, которые должны поддерживать температуру на поверхности ограждений помещения плавательного бассейна выше температуры точки росы удалаемого влажного воздуха (см. рис. 1 и 2).

Приточные 1 и вытяжные 11 агрегаты удобно и экономично создавать на базе блоков каркасно-панельных кондиционеров, разработанных и выпускаемых отечественной фирмой «Веза».

В настоящее время только в Москве реализовано более двадцати проектов систем микроклимата плавательных бассейнов, выполненных по схеме на рис. 3. Приточные и вытяжные агрегаты для систем микроклимата производительностью, указанной в приведенном в статье примере, собирают на базе блоков кондиционеров КЦКП-10 фирмы «Веза». (Каталог «Кондиционеры центральные каркасно-панельные», выпущенный в 1999 г., имеется в офисе фирмы).

СПИСОК ЛИТЕРАТУРЫ

- Богословский В.Н., Кокорин О.Я., Петров Л.В. Кондиционирование воздуха и холодоснабжение.–М.: Стройиздат, 1985.
- Кокорин О.Я. Энергосберегающие технологии функционирования систем вентиляции, отопления, кондиционирования воздуха (систем ВОК).–М.: Проспект, 1999.
- СНиП 2.04.05–91*. Отопление, вентиляция и кондиционирование.–М.: ГУП ЦПП, 1997.